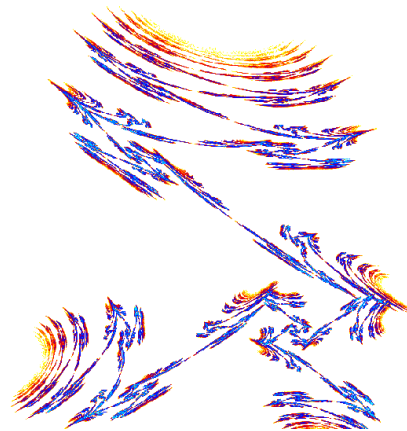


THEORIE DES ALGORITHMES ÉVOLUTIONNAIRES



Evelyne LUTTON

Equipe APIS - INRIA Saclay - Ile-de-France - Evelyne.Lutton@inria.fr

<http://complex.inria.fr/>

THÉORIE DES AEs

Questions

- Convergence.
- Fonctions “déceptives.”
- Choix et ajustement des paramètres.
- Représentation/Codage.

2

Deux grandes approches

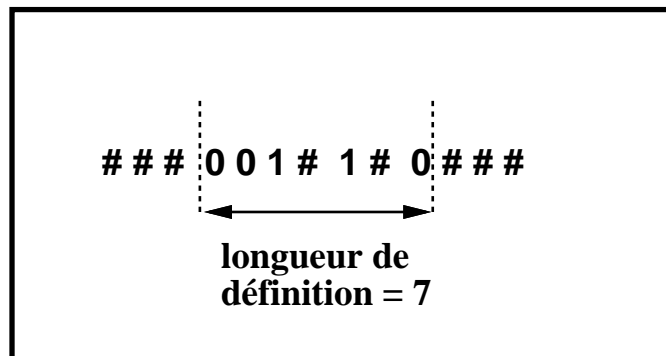
- Théorie des Schémas (*Holland, 1975*)
- Modélisation Markovienne (*depuis 1987*)



THÉORIE DES SCHÉMAS

Intuition : les similarités entre codes guident la recherche.

Notion de schéma : le schéma #001 représente le sous ensemble : {0001, 1001}



– Nombre d'allèles fixés : $\mathcal{O}(H)$

– Longueur de définition : $\delta(H)$

LE THEORÈME DES SCHÉMAS, pour des populations de taille infinie. : (Holland, 1975)

$$E(m(H, t + 1)) \geq m(H, t) \frac{\overline{f(H)}}{\bar{f}} \left[1 - p_c \frac{\delta(H)}{l-1} - \mathcal{O}(H) p_m \right]$$

NOTION DE DÉCEPTIVITÉ

Building blocks = “bons” schémas ayant des $\mathcal{O}(H)$ et des $\delta(H)$ faibles.

- *AG-facile* : l’optimum global de f appartient à l’intersection des building blocks.
- *AG-difficile* : l’intersection des building blocks est toujours un optimum local.
- *Déceptivité statique* (Goldberg 89) : attraction de l’AG vers les optima d’une fonction f' :

$f'(i) = E(f(i'))$ où i' peut être atteint à partir de i par mutation et croisement.

Si l’optimum global de f' et de f diffèrent la fonction est déceptive.



MODÉLISATION MARKOVIENNE

Le passage d'une génération à la suivante peut être considéré comme un processus stochastique dans un espace d'états fini. → **Chaîne de Markov**

– *Goldberg et Segrest, 1987 :*

- Chromosomes de longueur 1
- Population de taille finie
- ==> dérive génétique

– *Horn, 1993 :*

- Niches écologiques

– *Davis et Principe, 1991 :*

- chromosomes de longueur > 1
- ==> décroissance de la probabilité de mutation

– *Nix et Vose, 1992 :*

- la population croît pendant l'évolution

– *Cerf, 1993.*

Les résultats sur la convergence

Convergence “dans le cas le pire” :

Résultats globaux (simples).

- Théorie des Schémas,
- Modélisations Markoviennes,
- “The genetic algorithm fractal” (Juliany & Vose).

Fitness contrôlé :

Les résultats sont plus précis grâce à des hypothèses restrictives sur la fonction de fitness :

- NK Landscapes,
- Stratégies d’évolution sur des modèles de sphères,
- Analyse de régularité fractale.

Paysages irréguliers et fractals

L'irrégularité est une source de difficultés pour les AEs

- Existe-t'il un lien entre irrégularité et performance des AEs ?
 - Comment rendre les AEs plus efficaces sur des paysages de fitness irréguliers ?
-

Caractérisation uniforme de la régularité de la fonction de fitness

Soient (X, d_X) et (Y, d_Y) deux espaces métriques.

$F : X \rightarrow Y$ est une fonction **Höldérienne d'exposant $h \geq 0$**

si $\forall x, y \in X$ tel que $d_X(x, y) < 1$

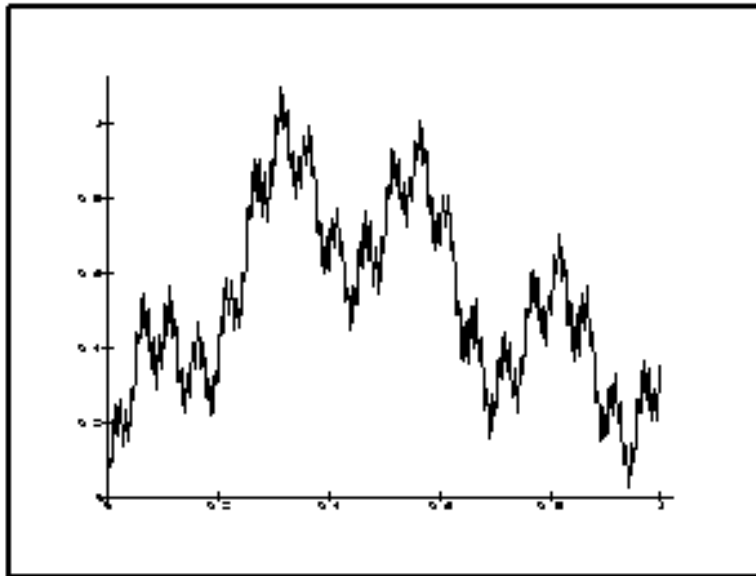
$$d_Y(F(x), F(y)) \leq k \cdot d_X(x, y)^h$$

∞ pour une constante $k > 0$.

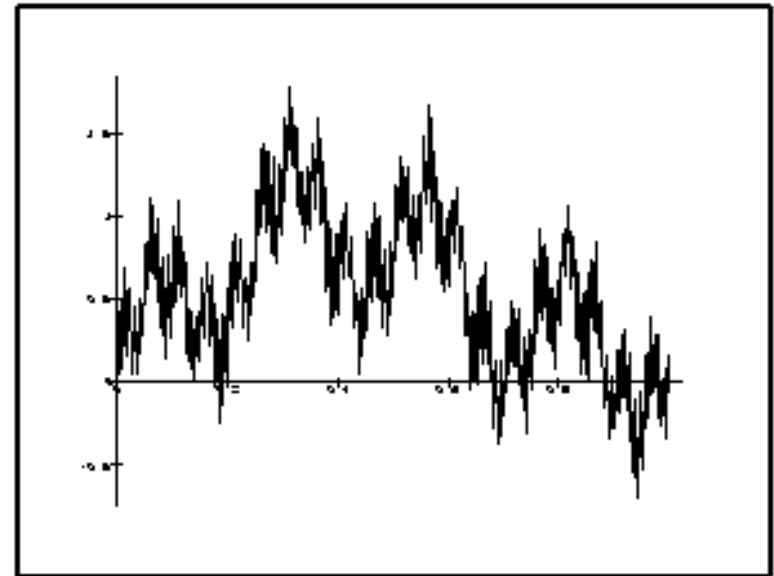
- Si F est Höldérienne d'exposant h , elle est Höldérienne d'exposant h' pour tout $h' \in (0, h]$.
 - Une fonction A Höldérienne est toujours continue, mais non nécessairement différentiable.
-

Fonctions de Weierstrass

$$W_{b,s}(x) = \sum_{i=1}^{\infty} b^{ih} \sin(b^i x) \quad \text{avec } b > 2 \text{ et } 0 < h < 1$$



Dimension $s = 1.5$ (Hölder $h = 0.5$)



Dimension $s = 1.7$ (Hölder $h = 0.3$)

Fonction + topologie génétique = fitness landscape

La mesure de régularité dépend de la métrique définie sur l'espace de recherche.

Pour les AEs : l'irrégularité apparente dépend de la topologie "génétique."

→ Le design des opérateurs génétiques est extrêmement important.

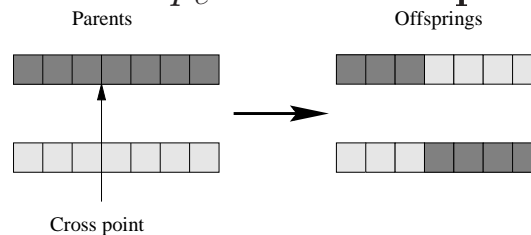
L'algorithme génétique canonique

Fonction de fitness : $f : \Omega^l = \{0, 1\}^l \rightarrow \mathbb{R}^+$

– Sélection proportionnelle :

$$P(i) = \frac{f(i)}{\sum_{j=1}^N f(j)}$$

≡ – Crossover à un point avec probabilité p_c sur un couple d'individus :



– Mutation avec une probabilité fixée faible, p_m .

Mesure de difficulté pour un paysage de fitness

- *Static deception (Goldberg 89)* : L'AG est attiré vers les optima de f' :

$$f'(i) = E(f(i'))$$

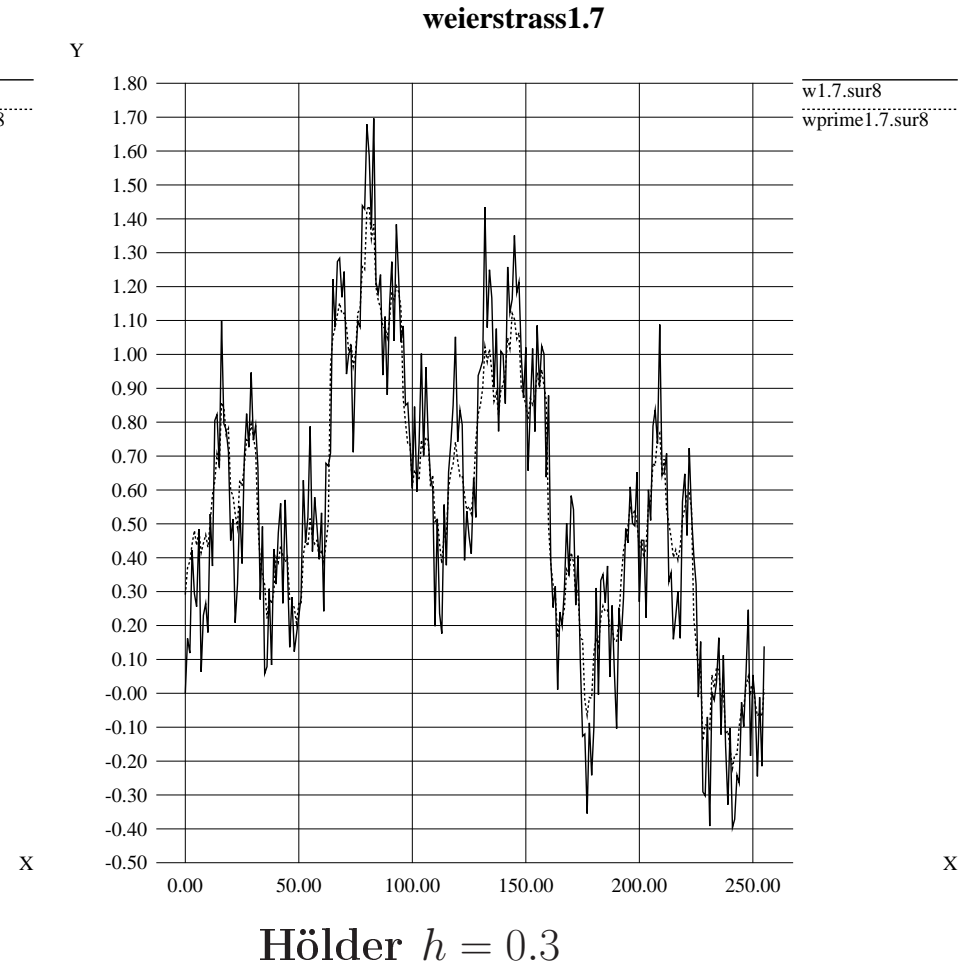
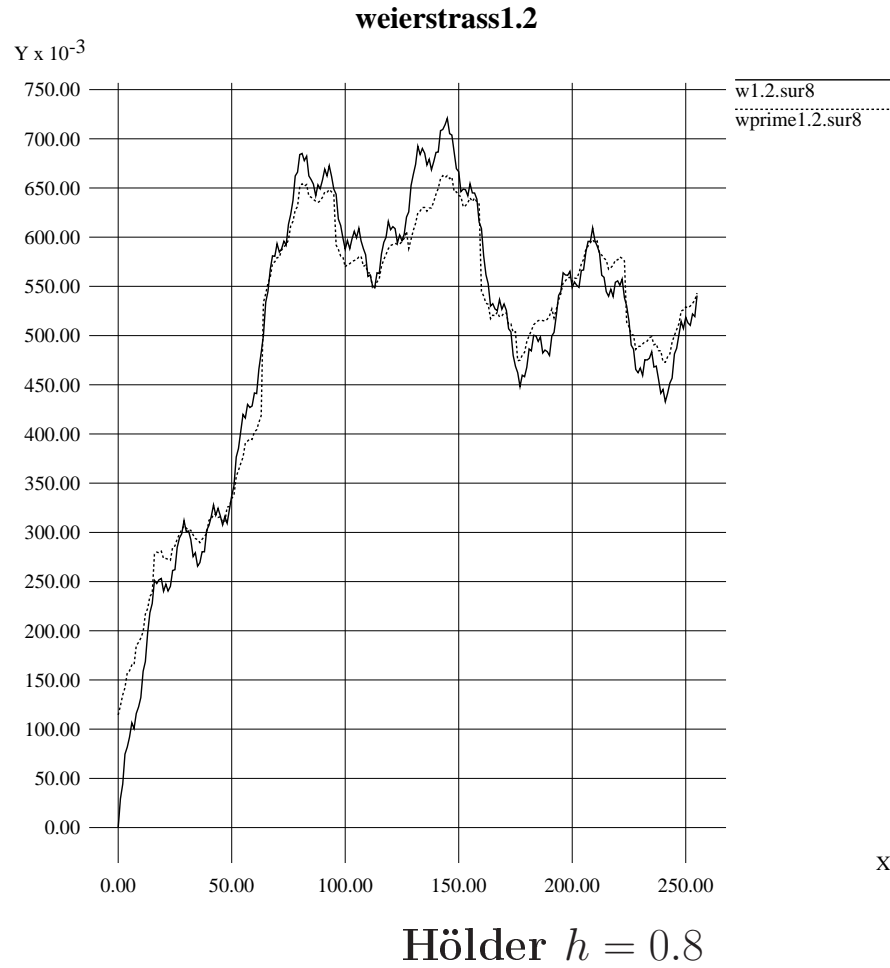
où i' est atteint à partir de i par une mutation ou un crossover.

Si l'optimum global de f' et de f diffèrent, la fonction est “trompeuse” (\simeq AG-difficile)

f' peut être calculée à partir de f , p_m et p_c grâce à une décomposition sur une base de Walsh.

Fitness ajusté pour les fonction de Weierstrass

13



Fitness ajusté et taux de progrès

$$\Delta f = |f(x) - f'(x)| = |f(x) - E_{\text{Voisins "Genetiques"}}(f(x))|$$

Δf est un gain espéré (– ou perte désespérée !) pour la fonction de fitness en une application des opérateurs génétiques.

Pour un (1+1)ES sur un espace de recherche continu, Δf est directement lié au **taux de progrès**.

Fonctions Höldériennes

Si f est l'échantillonnage d'une fonction Höldérienne F sur $[0, 1]$, d'exposant h et de constante k :

$$\forall x \in \{0, 1\}^l, \quad f(x) = F\left(\frac{I(x)}{2^l}\right)$$

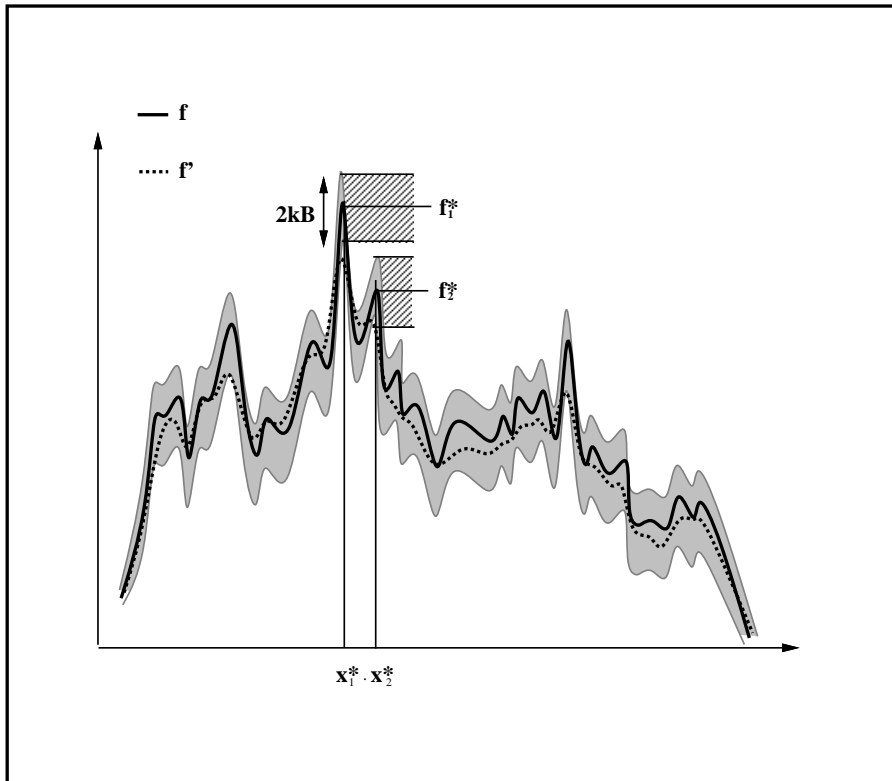
$I(x) \in [0, 2^l - 1]$ est l'entier dont la décomposition binaire est x

$$\forall x \in \{0, \dots, 2^l - 1\} \quad |f(x) - f'(x)| \leq k.B(p_m, p_c, l, h)$$

avec

$$B(p_m, p_c, l, h) = \frac{p_c}{l-1} 2^{-h} \left[\frac{2^{-l(h+1)} - 1}{2^{-(h+1)}} + \frac{(1 - 2^{l-h})(2^{-hl} - 1) - l2^{-hl}(1 - 2^{-h})}{(2^{-h} - 1)^2} \right] \\ + p_m \frac{2^{-h}}{(2^{-h} - 1)^2} [1 + 2^{-hl}(l2^{-h} - l - 1)]$$

Majoration de $\Delta f = |f(x) - f'(x)|$



- B décroît selon h .
- B croît selon p_m et p_c .
- B croît selon l pour l petit, atteint un maximum en l_{max} , puis décroît pour $l > l_{max}$.

Coefficients de régularité bit-à-bit : caractérisation fondée sur la distance de Hamming.

Définition : soit f une fonction définie sur Ω^l :

$$\forall q \in \{0, \dots, l-1\}, C_q = \sup_{x \in \Omega^l} \{|f(x) - f(x'_{l-q-1})|\}$$

avec x'_{l-q-1} et x différents uniquement selon le bit de position $(l - q - 1)$

17

Théorème :

Soit f une fonction définie sur Ω^l dont les coefficients de régularité bit-à-bit sont $(C_q)_{q \in \{0, \dots, l-1\}}$.

Alors $\forall x \in \Omega^l$:

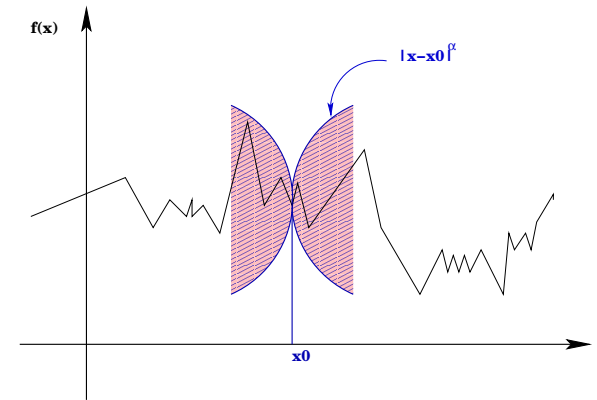
$$|f(x) - f'(x)| \leq \frac{p_c}{l-1} \sum_{q=0}^{l-1} C_q \left(\frac{1 + 2^q(q-1)}{2^q} \right) + p_m \sum_{q=0}^{l-1} C_q (q+1)$$

Régularité locale

Soit $\alpha \in (0, 1)$, $\Omega \subset \mathbf{R}$.

$f \in C_l^\alpha(\Omega)$ ssi $\exists k : \forall x, y \in \Omega : |f(x) - f(y)| \leq k|x - y|^\alpha$

$\alpha_l(f, x_0, \rho) = \sup \{ \alpha : f \in C_l^\alpha(B(x_0, \rho)) \}$



L'exposant de Hölder local d'une fonction continue f en x_0 est :

$$\alpha_l(f, x_0) = \lim_{\rho \rightarrow 0} \alpha_l(f, x_0, \rho)$$

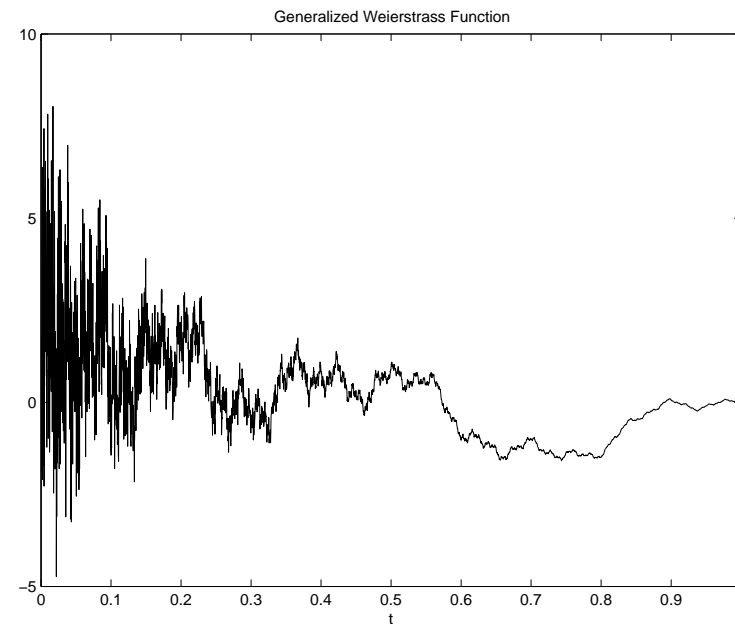
Expérience : influence de la régularité locale

L performance d'un ES est-elle affectée par un changement de régularité locale ?

Fonction de Weierstrass généralisée :

$$GW_{b,h}(x) = \sum_{i=1}^{\infty} b^{-ih(x)} \sin(b^i x)$$

with $b \geq 2$ and $0 < h(x) < 1$



Si h est différentiable, l'exposant de Hölder local de $GW_{b,h}$ est $h(x)$ en tout x .

Fonctions-test

Composante lisse + irrégularité normalisée et contrôlée sur $[-0.5, 0.5]$:

$$f(x) = 2 - 4x^2 - |NW_{b,h}(x)|$$

1. $N(x)$, cas favorable : les zones irrégulières ont un fitness peu élevé

$$h(x) = 0.9 \quad \text{si} \quad x \in [-0.2, 0.2]$$

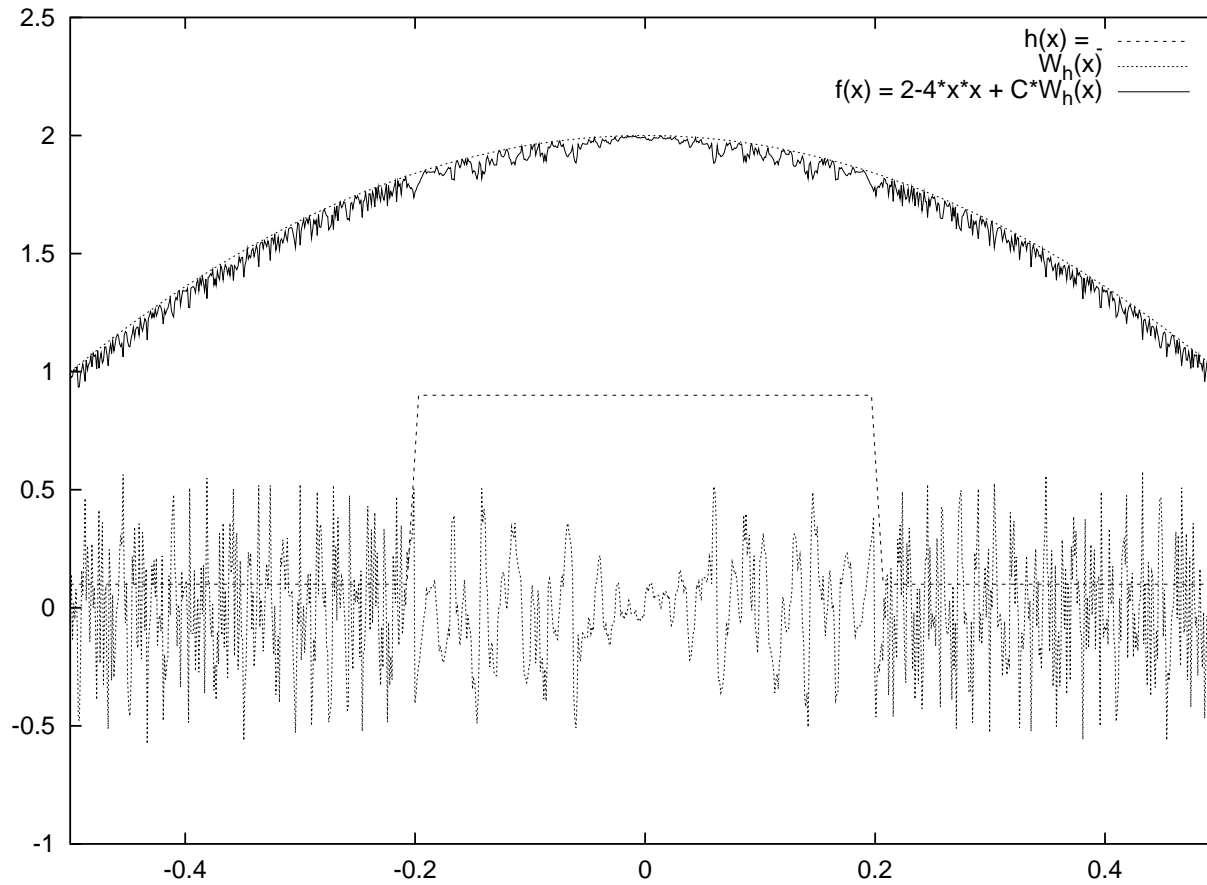
$$h(x) = 0.1 \quad \text{sinon}$$

2. $U(x)$, cas défavorable : les points les plus irréguliers sont au voisinage de l'optimum global

$$h(x) = 0.1 \quad \text{si} \quad x \in [-0.2, 0.2]$$

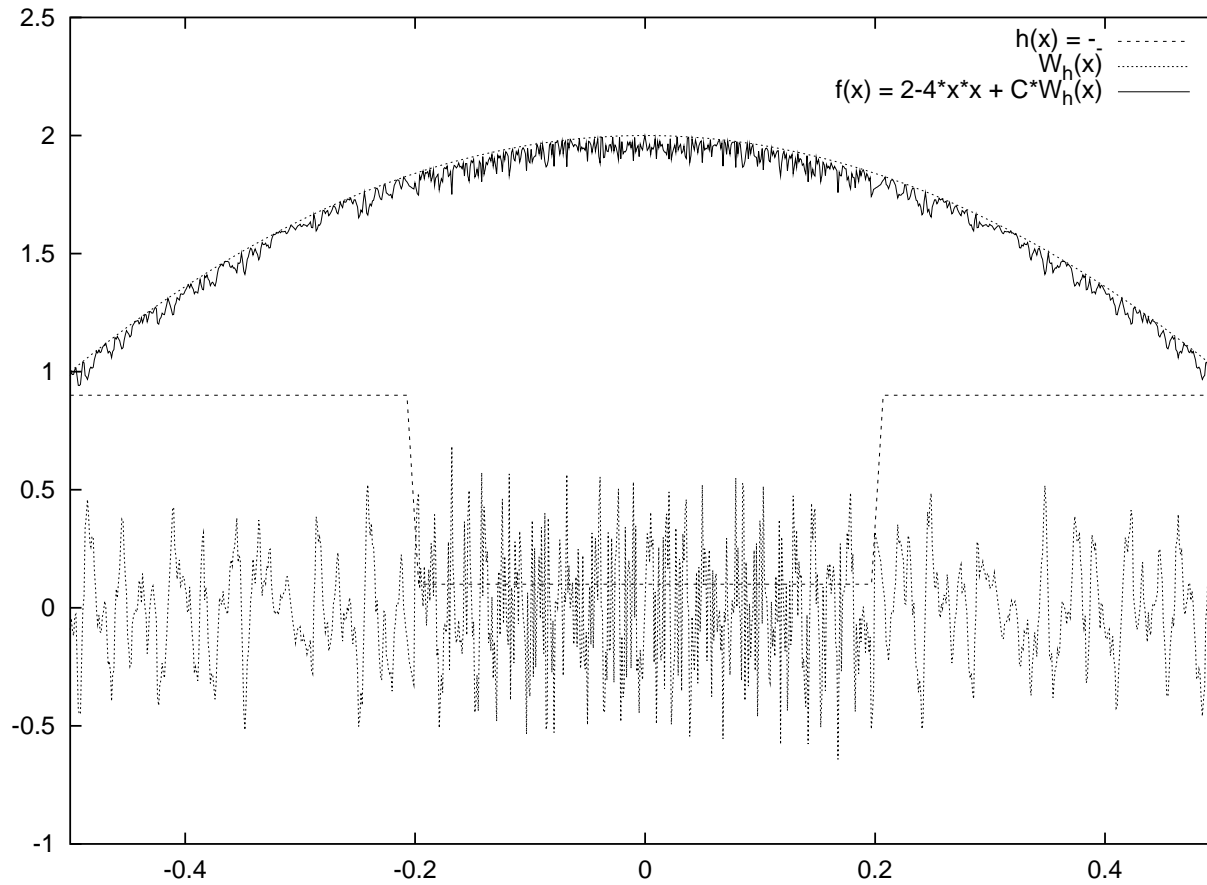
$$h(x) = 0.9 \quad \text{sinon}$$

Fonction-test N



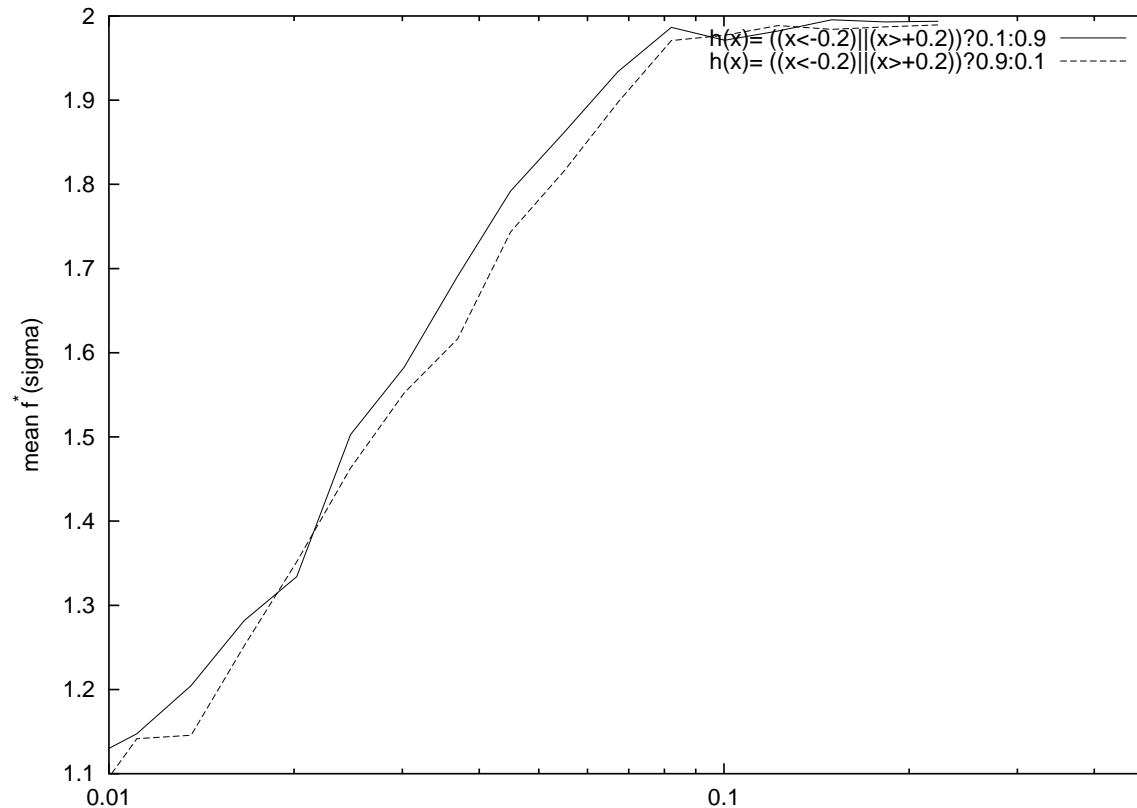
$N(x)$: le profil de régularité “n”

Fonction-test U



$U(x)$: le profil de régularité “u”

Test : (1+1)ES avec mutation uniforme de rayon σ



Moyenne des meilleurs fitness au bout de 300 generations d'un (1+1)ES pour U et N en fonction de σ .

Analyse théorique d'un ES à mutation uniforme

Pour une mutation uniforme de rayon σ , f' est le fitness espéré sur un disque de rayon σ .

$$f'(x) = \frac{1}{2\sigma} \int_{x-\sigma}^{x+\sigma} f(t) dt$$

Comme f est localement Hölder, nous avons pour tout $x : \forall t \in B(x, \sigma) \quad |f(x) - f(t)| \leq C_x |x - t|^{\alpha(x)}$

$|f(x) - f'(x)|$ est donc majoré en fonction de l'exposant de Hölder local $\alpha(x)$.

$$|f(x) - f'(x)| \leq \frac{C_x \sigma^{\alpha(x)}}{\alpha(x) + 1}$$

Analyse

$\Delta f(x) = |f(x) - f'(x)|$ est la variation de fitness espérée dans le voisinage de x .

Pour un $\sigma < 1$ fixé, elle décroît quand α croît.

Pour des rayons de mutation suffisamment petits, les fonctions plus lisses sont plus faciles à optimiser.

→ Une mutation dépendant de la localisation $\sigma = \sigma(x)$?

→ Réglée pour obtenir un majorant constant sur $\Delta f(x)$ tout le long de la trajectoire ?

Une mutation dépendant de la localisation

$\frac{C_x \sigma^{\alpha(x)}}{\alpha(x)+1} = K$, un paramètre défini par l'utilisateur.

$$\sigma(x) = \left(\frac{K(\alpha(x) + 1)}{C_x} \right)^{\frac{1}{\alpha(x)}}$$

26

Selon la valeur de $\frac{K}{C_x}$, le rayon de mutation peut

- croître avec α (quand $\frac{K}{C_x} \leq 0.8$),
 - ou décroître avec α (quand $\frac{K}{C_x} \geq 1$).
-

Expériences avec N et U

Deux (1+1)ES ont été comparés :

- avec mutation de rayon fixé : (ES),
- avec rayon de mutation adaptatif : (ESadapt).

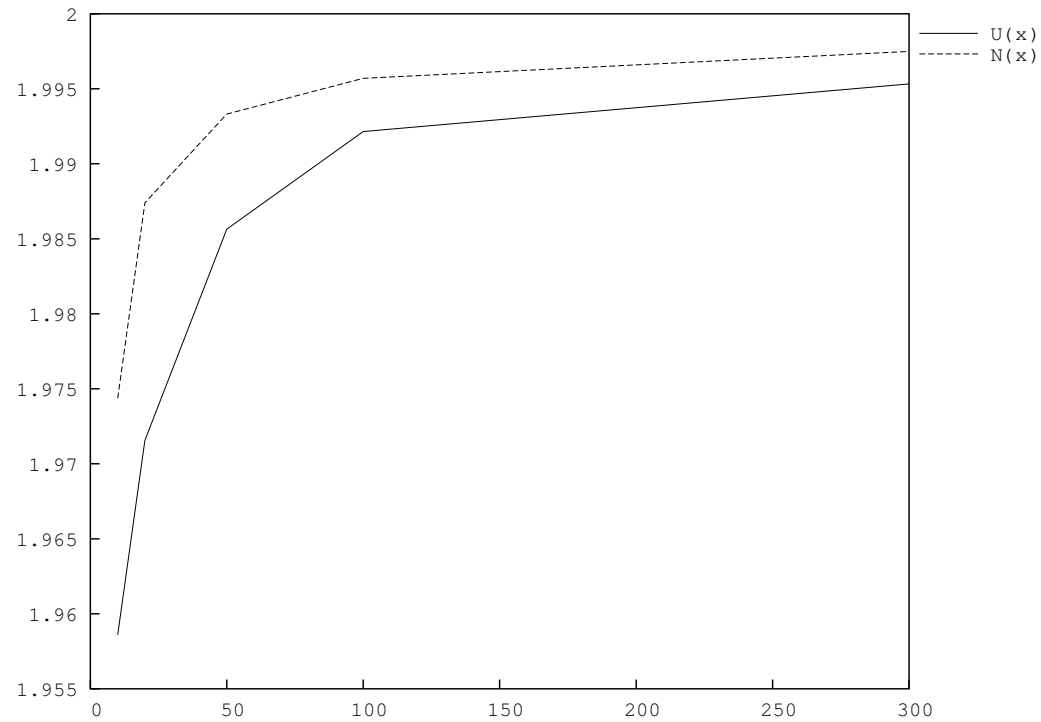
$$\sigma(x) = \beta \left(\frac{K(\alpha(x) + 1)}{C_x} \right)^{\frac{1}{\alpha(x)}}$$

C_x et K sont considérés comme constants sur N et U .

β varie de façon à avoir un rayon variable de valeur moyenne comparable à la valeur fixée σ de l'ES.

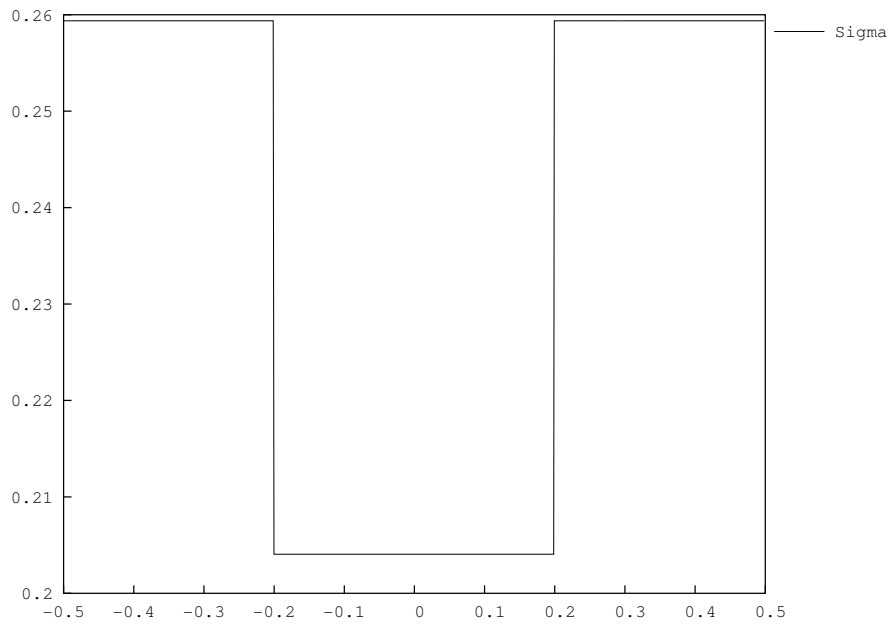
Les statistiques sont faites sur 100 runs pour chaque jeu de paramètres.

Recherche aléatoire pure

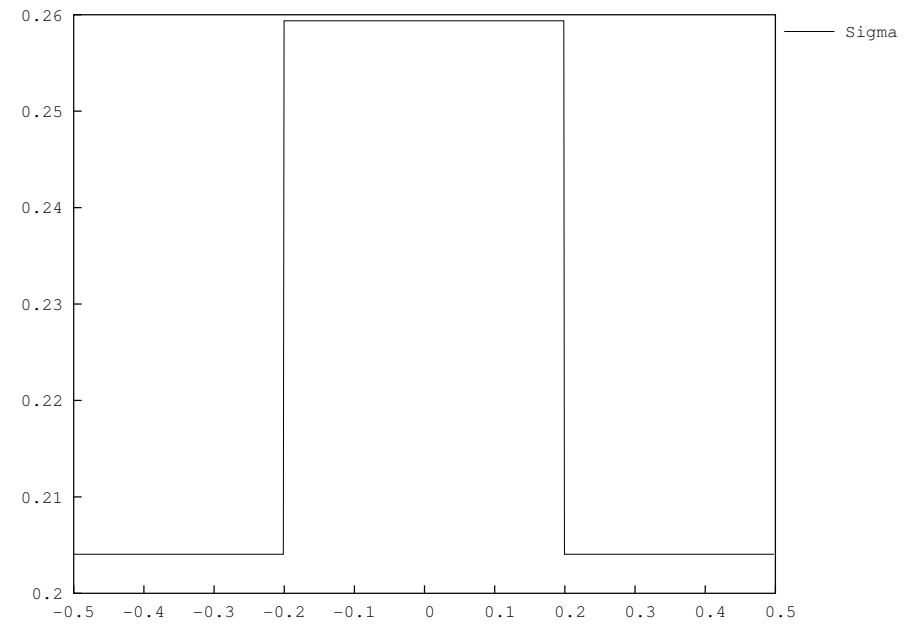


Résultats moyens (100 runs) d'un algorithme de recherche aléatoire pure sur $U(x)$ et $N(x)$, le nombre des évaluations est en abscisse.

Profils adaptifs $\sigma(x)$ pour N et U



Pofil Sigma pour $N(x)$

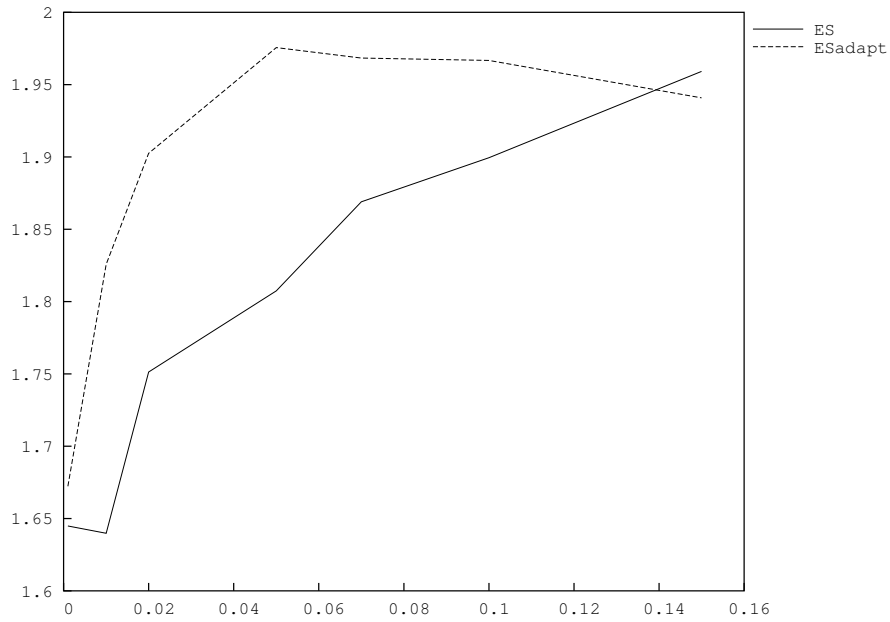


Pofil Sigma pour $U(x)$.

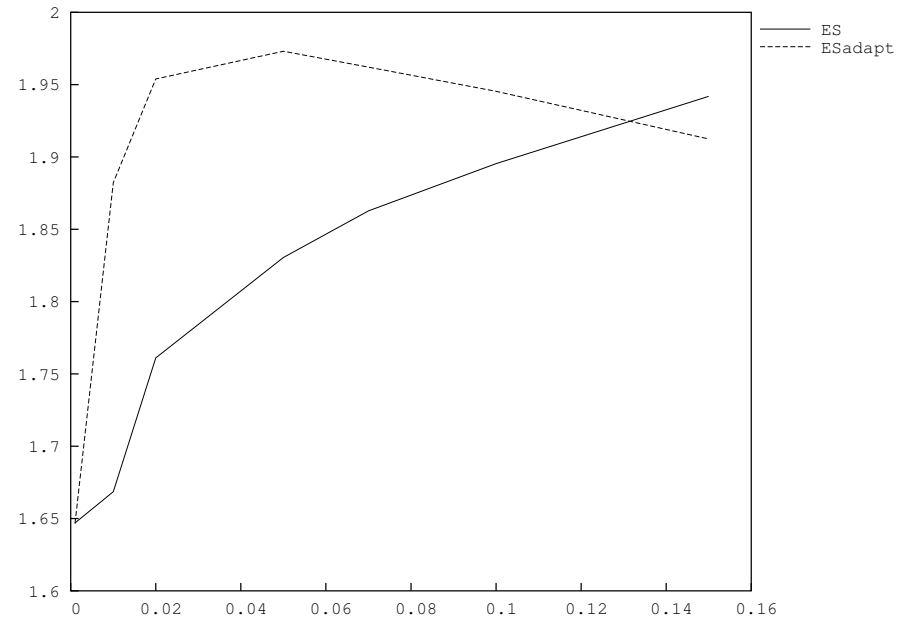
→ Un σ plus large pour les zones les plus irrégulières.

10 générations d'un (1+1)ES

30



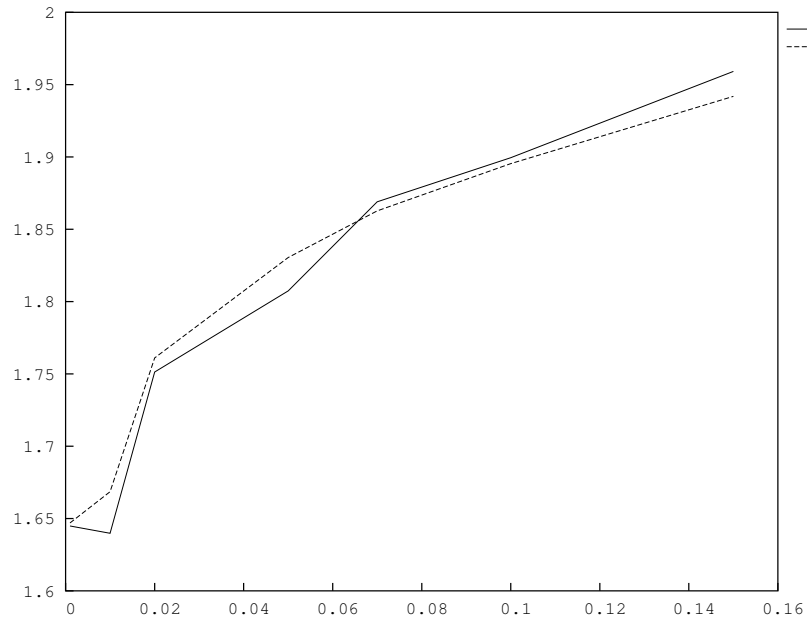
Résultats sur $N(x)$.



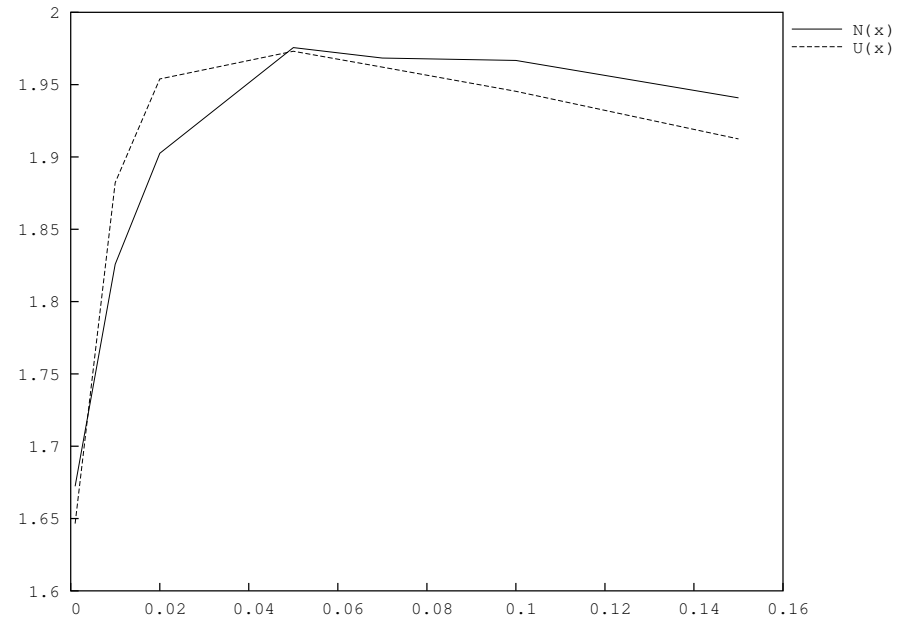
Résultats sur $U(x)$.



Comparaison de $U(x)$ et $N(x)$, 10 générations



ES



ESadapt

Estimation des exposants en ligne

La méthode requiert le calcul de $\alpha(x)$ et de la norme Höldérienne C_x en chaque x :

- $:-$ (L'échantillonnage d'un voisinage a un coût calculatoire.
- $:-$) Les évaluations antérieures peuvent être utilisées.
- $:-$) Un AE échantillonne préférentiellement les régions intéressantes (optima).

Un routine d'estimation de C_x peut être intégrée à un $(1 + \lambda)ES$ avec très peu de de calculs additionnels.

Question actuelle : Design d'une routine efficace d'estimation de C_x et $\alpha(x)$ en ligne pour les $(\mu, \lambda)ES$ et les $(\mu + \lambda)ES$.

Estimation de C_x et de $\alpha(x)$

Echantillonnage de f sur un voisinage de taille ε autour de x : $f(x_i)$ pour $x_i = x - i/n, \dots, x + i/n$ (en pratique, $i \simeq 3$).

Oscillation osc_ρ de f sur $B(x, \rho)$ pour $\rho = 1/n, \dots, i/n$:

$$\text{osc}_\rho = \sup_{y \in B(x, \rho)} f(y) - \inf_{y \in B(x, \rho)} f(y).$$

Régression aux moindres carrés du vecteur $(\log(\text{osc}_\rho))_\rho$ selon $(\log(\rho))_\rho$:

- $\alpha(x)$ est la pente,
 - C_x est le point de croisement de la droite avec l'axe des ordonnées.
-

Juliany & Vose “The genetic algorithm fractal”

Un modèle de système dynamique des AEs fondé sur un théorème des schémas avec égalité : les populations successives peuvent être représentées à l'aide d'une fonction \mathcal{G} .

A partir d'une population initiale aléatoire x , l'AE produit des populations successives : $\mathcal{G}(x), \mathcal{G}^2(x), \dots, \mathcal{G}^n(x)$

⇒ Visualisation des bassins d'attraction $\mathcal{G}^\infty(x)$ de ce système dynamique produit des images fractales.

Juliany & Vose “The genetic algorithm fractal”

